

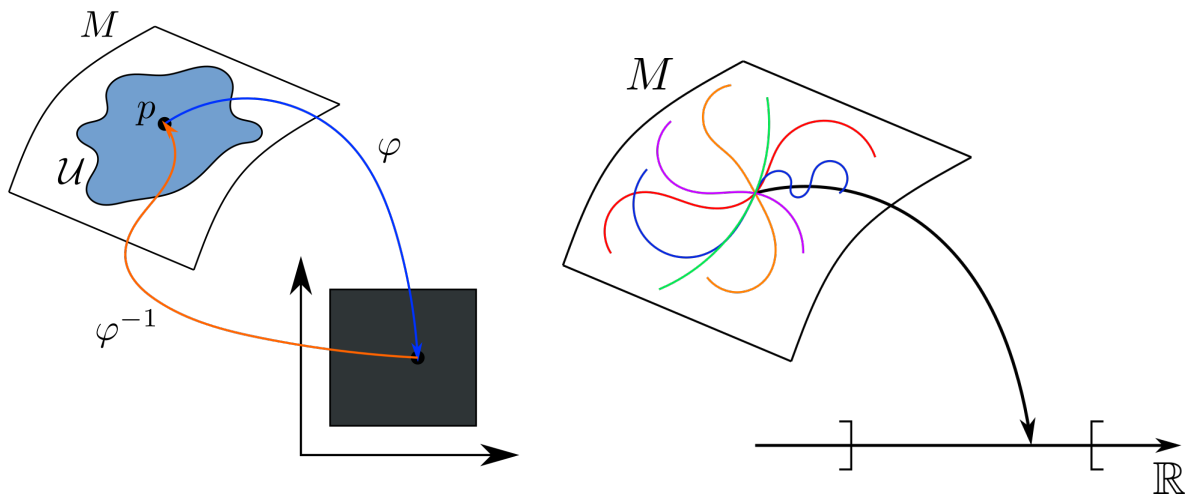
# Wykłady z Analizy III

Jakub Korsak

28 października 2019

# 1 Wykład (04.10.2019)

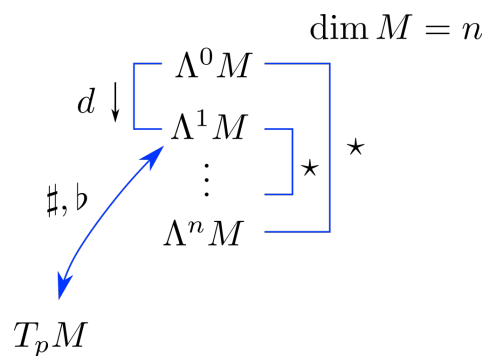
## 1.1 Przypomnienie



Rysunek 1: Przypomnienie

Niech  $\alpha_1, \alpha_2, \dots, \alpha_k \in \Lambda^1(M)$ ,  $v_1, v_2, \dots, v_k \in T_p M$ , to wtedy

$$\langle \alpha_1 \wedge \alpha_2 \wedge \dots \wedge \alpha_k, v_1, v_2, \dots, v_k \rangle = \left| \begin{bmatrix} \alpha_1(v_1) & \dots & \alpha_k(v_1) \\ \vdots & \ddots & \vdots \\ \alpha_1(v_k) & \dots & \alpha_k(v_k) \end{bmatrix} \right|.$$



Rysunek 2: Przypomnienie c.d.

$$\langle v|w \rangle = [v]^T [g_{ij}] \begin{bmatrix} w \end{bmatrix}.$$

$$A = A^1 \frac{\partial}{\partial x^1} + \dots + A^n \frac{\partial}{\partial x^n}.$$

$$A^\sharp = A^1 g_{11} dx^1 + \dots + A^n g_{nn} dx^n,$$

(gdy  $g_{ij}$  - diagonalna)

$$A^i g_{ij} dx^j.$$

## 1.2 Jest sytuacja taka

Niech  $A \in T_p M$ ,  $A = A^1 \frac{\partial}{\partial x^1} + \dots + A^k \frac{\partial}{\partial x^k}$ ,  $B = T_p M$ ,  $B = B^1 \frac{\partial}{\partial x^1} + \dots + \frac{\partial}{\partial x^k}$ .

Jaka jest interpretacja geometryczna wielkości

$$\langle A^\sharp, B \rangle, \quad (g_{ij} - \text{diagonalna}).$$

$$A^\sharp = A^1 g_{11} dx^1 + \dots + A^k g_{kk} dx^k.$$

$$\begin{aligned} \langle A^\sharp, B \rangle &= \left\langle A^1 g_{11} dx^1 + \dots + A^k g_{kk} dx^k, B^1 \frac{\partial}{\partial x^1} + \dots + B^k \frac{\partial}{\partial x^k} \right\rangle = \\ &= g_{11} A^1 B^1 + \dots + g_{kk} A^k B^k = A \cdot B. \end{aligned}$$

Czyli gdyby  $\|B\| = 1$ , to  $\langle A^\sharp, B \rangle$  byłoby długością rzutu  $A$  na kierunek  $B$ .

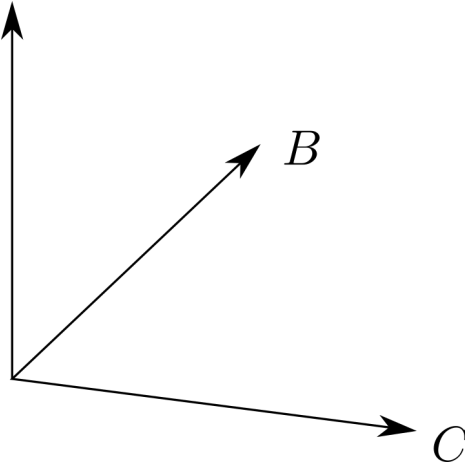
Niech  $\dim M = 3$ ,  $\Lambda^2 M \ni A$ ,

$$A = A^1 dx^2 \wedge dx^3 + A^2 dx^3 \wedge dx^1 + A^3 dx^1 \wedge dx^2.$$

$$B = B^1 \frac{\partial}{\partial x^1} + B^2 \frac{\partial}{\partial x^2} + B^3 \frac{\partial}{\partial x^3}, \quad C = C^1 \frac{\partial}{\partial x^1} + \dots + C^3 \frac{\partial}{\partial x^3} \in T_p M.$$

$$\begin{aligned} \langle A, B, C \rangle &= A^1 \langle dx^2 \wedge dx^3, B, C \rangle + A^2 \langle dx^3 \wedge dx^1, B, C \rangle + A^3 \langle dx^1 \wedge dx^2, B, C \rangle = \\ &= A^1 \left[ \left\langle \frac{dx^2}{dx^2}, B \right\rangle \left\langle \frac{dx^3}{dx^3}, C \right\rangle \right] + A^2 \left[ \left\langle \frac{dx^3}{dx^3}, B \right\rangle \left\langle \frac{dx^1}{dx^1}, C \right\rangle \right] + A^3 \left[ \left\langle \frac{dx^1}{dx^1}, B \right\rangle \left\langle \frac{dx^2}{dx^2}, C \right\rangle \right] = \\ &= A^1 \begin{bmatrix} B^2 & B^3 \\ C^2 & C^3 \end{bmatrix} + A^2 \begin{bmatrix} B^3 & B^1 \\ C^3 & C^1 \end{bmatrix} + A^3 \begin{bmatrix} B^1 & B^2 \\ C^1 & C^2 \end{bmatrix} = \\ &= A^1 (B^2 C^3 - B^3 C^2) + A^2 (B^3 C^1 - B^1 C^3) + A^3 (B^1 C^2 - B^2 C^1) = \\ &= "A^1 (B \times C)_1 + A^2 (B \times C)_2 + A^3 (B \times C)_3" = "A \cdot (B \times C) \\ &= \left| \begin{bmatrix} A^1 & A^2 & A^3 \\ B^1 & B^2 & B^3 \\ C^1 & C^2 & C^3 \end{bmatrix} \right|. \end{aligned}$$

(rys 3)



Rysunek 3: Się okazuje, że wychodzi z tego coś jak iloczyn wektorowy

## 1.3 Problem

$\dim M = 3$ , mamy

$$\Lambda^1 M \ni F = F^1 dx^1 + F^2 dx^2 + F^3 dx^3$$

oraz krzywą  $S$  w  $\mathbb{R}^3$  (np. spiralę) (rys 4). Chcemy znaleźć pracę związaną z przemieszczeniem z punktu  $A$  do  $B$ .

1. sparametryzujmy kształt  $S$ , np.

$$S = \left\{ (x, y, z) \in \mathbb{R}^3, \begin{matrix} x = \cos(t) \\ y = \sin(t), t \in [0, 4\pi] \\ z = t \end{matrix} \right\}.$$

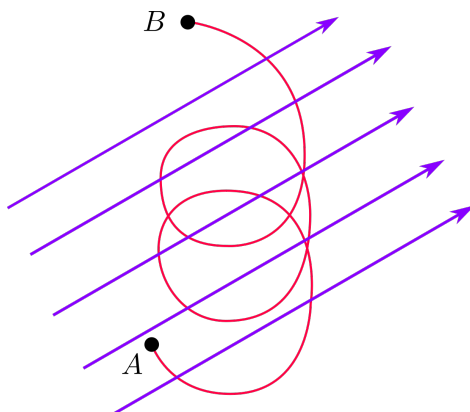
2. możemy na spirali wygenerować pole wektorów stycznych. Jeżeli  $p = \begin{bmatrix} \cos(t) \\ \sin(t) \\ t \end{bmatrix} \Big|_{t=t_0}$ , to

$$T_p M = \left\langle \begin{bmatrix} -\sin(t) \\ \cos(t) \\ 1 \end{bmatrix} \right\rangle \Big|_{t=t_0}.$$

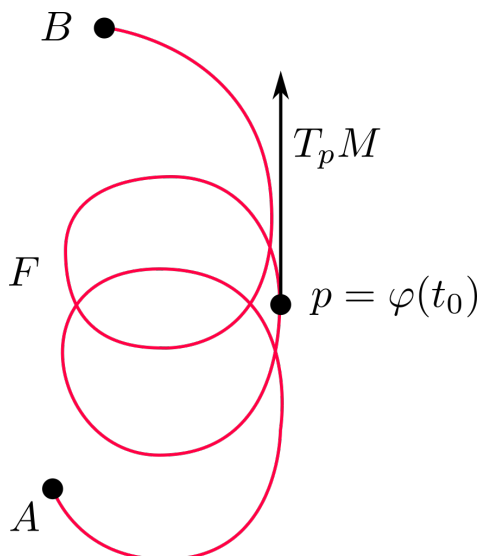
(rys 5)

3. Niech  $T_p M \ni v = -\sin(t) \frac{\partial}{\partial x} + \cos(t) \frac{\partial}{\partial y} + \frac{\partial}{\partial z}$ . (rys 6)  
Możemy policzyć np.

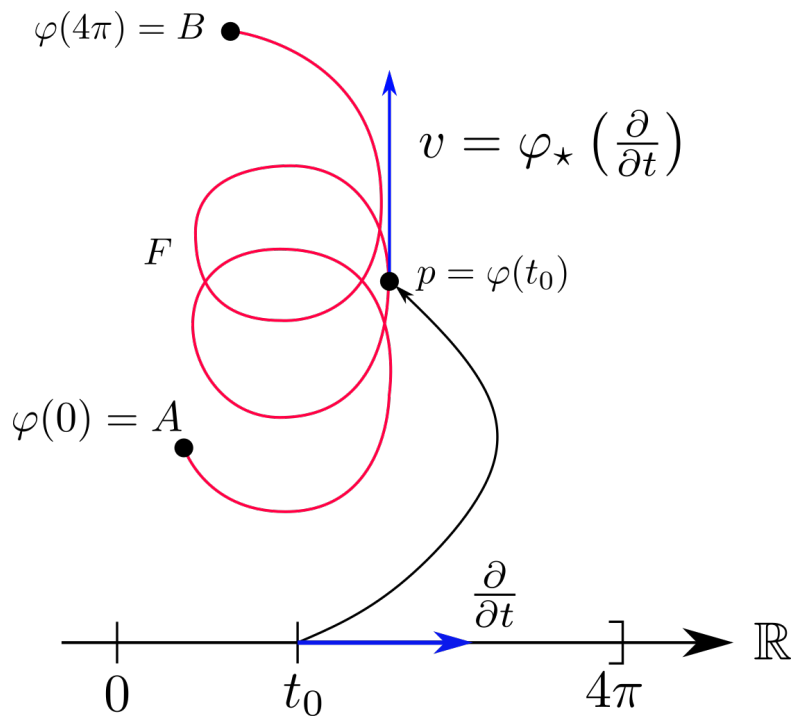
$$\begin{aligned} \int \langle F, v \rangle &= \int_0^{4\pi} \left\langle F, -\sin(t) \frac{\partial}{\partial x} + \cos(t) \frac{\partial}{\partial y} + \frac{\partial}{\partial z} \right\rangle dt = \\ &= \int_0^{4\pi} \left\langle F, \varphi_* \left( \frac{\partial}{\partial t} \right) \right\rangle dt = \int_0^{4\pi} \left\langle \varphi^* F, \frac{\partial}{\partial t} \right\rangle dt. \end{aligned}$$



Rysunek 4: Mrówka (albo koralik) na spirali + jakieś pole wektorowe (grawitacyjne albo mocny wiatrak)



Rysunek 5: można jakoś to sparametryzować przez  $\varphi$



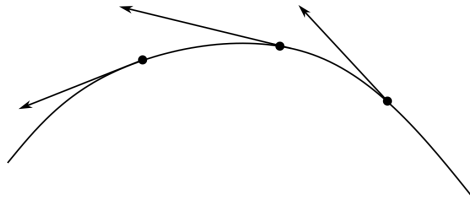
Rysunek 6

**Definicja 1.** Niech  $M$  - rozmaitość,  $L$  - krzywa na  $M$ ,  $\omega \in \Lambda^1 M$ ,  $\varphi : [a, b] \rightarrow M$  - parametryzacja krzywej  $L$ , czyli

$$L = \{\varphi(t), t \in [a, b]\}.$$

Całką z jednoformy po krzywej nazywamy wielkość (rys 7)

$$\int_a^b \left\langle \varphi^* \omega, \frac{\partial}{\partial t} \right\rangle dt.$$



Rysunek 7: Cała sztuka polega na takim kolekcjonowaniu wektorków stycznych

**Przykład 1.** niech (rys 8)

$$C_1 = \left\{ (x, y) \in \mathbb{R}^2, \begin{bmatrix} x \\ y \end{bmatrix} = \begin{bmatrix} t-1 \\ 2t-1 \end{bmatrix}, 1 \leq t \leq 2 \right\}$$

i

$$\omega = ydx = \left( y \frac{\partial}{\partial x} \right)^\#.$$

$$\text{Wtedy mamy } \varphi(t) = \begin{bmatrix} t-1 \\ 2t-1 \end{bmatrix}, \varphi^* \omega = \begin{vmatrix} x = t-1 \\ dx = dt \end{vmatrix} = (2t-1)dt$$

$$\left\langle \varphi^* \omega, \frac{\partial}{\partial t} \right\rangle = \left\langle (2t-1)dt, \frac{\partial}{\partial t} \right\rangle = 2t-1$$

$$\int_{C_1} \omega = \int_1^2 \left\langle \varphi^* \omega, \frac{\partial}{\partial t} \right\rangle dt = \int_1^2 (2t-1)dt = [t^2 - t]_1^2 = 2$$

.

$$C_2 = \left\{ (x, y) \in \mathbb{R}^2, \begin{bmatrix} x \\ y \end{bmatrix} = \begin{bmatrix} 2-u \\ 5-2u \end{bmatrix}, 1 \leq u \leq 2 \right\}, \varphi_1(u) = \begin{bmatrix} 2-u \\ 5-2u \end{bmatrix}.$$

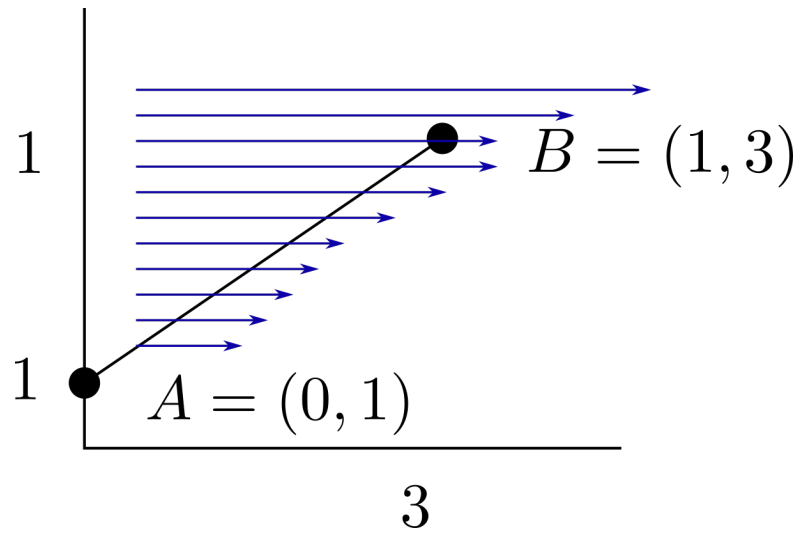
$$\int_{C_2} \omega = \int_1^2 \left\langle \varphi_1^* \omega, \frac{\partial}{\partial u} \right\rangle du,$$

ale  $\frac{x=2-u}{dx=-u}$  i mamy

$$\varphi^* \omega = (5-2u)(-du) = (2u-5)du.$$

Ostatecznie

$$\int_{C_2} \omega = \int_1^2 (2u-5)du = [u^2-5u]_1^2 = -6+4 = -2.$$



Rysunek 8

## 2 Wykład (07.10.2019)

### 2.1 Ostatnio

Była rozmaitość  $M$  z wymiarem  $\dim M = n$ , krzywą

$$L : \{[a, b] \ni t \rightarrow \varphi(t) \in \mathbb{R}^n\},$$

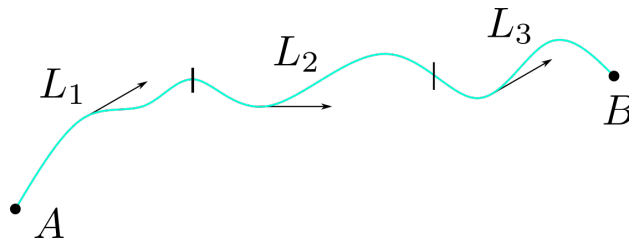
jednoforma  $\omega \in \Lambda^1 M$  i zastanawialiśmy się jak obliczyć

$$\int_L \omega = \int_a^b \left\langle \varphi^* \omega, \pm \frac{\partial}{\partial t} \right\rangle dt.$$

Wyszło nam dla  $\omega = ydx$ ,

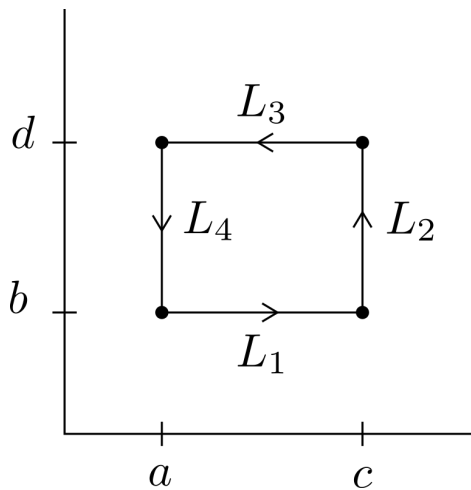
$$\int_{C_1} \omega = 2, \quad \int_{C_2} \omega = -2.$$

(rys 1)



Rysunek 9: W każdym momencie chcemy wiedzieć, w którą stronę chcemy iść.  $L_1 + L_2 + L_3 = L$

**Przykład 2.** (rys 2)



Rysunek 10:  $\dim M = 2$

$$\omega = A(x, y)dx + B(x, y)dy \in \Lambda^1 M.$$

Trzeba te krzywe sparametryzować:

$$L_1 = \{(x, b), a \leq x \leq c\}.$$

$$L_2 = \{(c, y), b \leq y \leq d\}.$$

$$L_3 = \{(x, d), a \leq x \leq c\}.$$

$$L_4 = \{(a, y), b \leq y \leq d\}.$$

$$\begin{aligned} \int_L \omega &= \int_{L_1} \omega + \int_{L_2} \omega + \int_{L_3} \omega + \int_{L_4} \omega = \\ &= \int_a^c \left\langle \varphi_1^* \omega, \frac{\partial}{\partial x} \right\rangle dx + \int_b^d \left\langle \varphi_2^* \omega, \frac{\partial}{\partial y} \right\rangle dy + \int_a^c \left\langle \varphi_3^* \omega, -\frac{\partial}{\partial x} \right\rangle dx + \int_b^d \left\langle \varphi_4^* \omega, -\frac{\partial}{\partial y} \right\rangle dy = \\ &= \int_a^c A(x, b) dx + \int_b^d B(c, y) dy + (-1) \cdot \int_a^c A(x, d) dx + (-1) \cdot \int_b^d B(a, y) dy. \end{aligned}$$



Rysunek 11: Tramwaj nie ma za dużo możliwości, jedynie przód, tył i ewentualnie szybciej - na rolkach

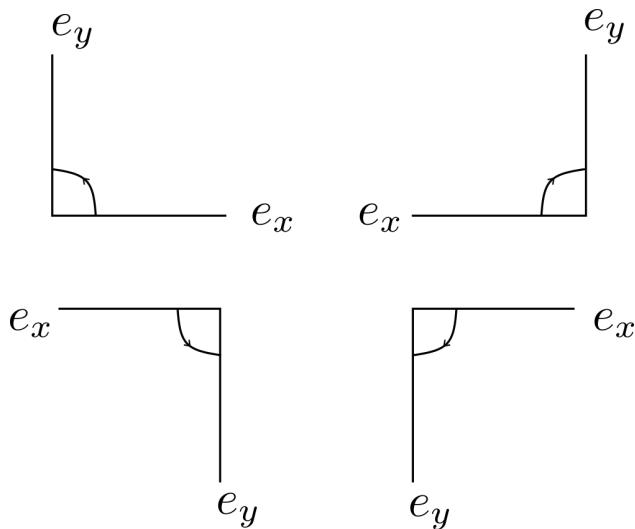
(rys 3)

dla  $\dim M = \mathbb{R}^1$ . Niech  $\varphi : T_p M \rightarrow T_p M$ ,  $\varphi(v) = a \cdot v$  ( $\varphi$  - liniowe).

$a > 0$  - nie zmienia orientacji (kierunku)

$a < 0$  - zmienia kierunek wektora.

(rys 4)



Rysunek 12: Różne orientacje na  $\mathbb{R}^2$ , czy można to jakoś pogrupować?

**Definicja 2.** Niech  $B_1, B_2$  - bazy uporządkowane w  $V$  - przestrzeń wektorowa. Mówimy, że  $B_1$  i  $B_2$  należą do tej samej klasy orientacji, jeżeli wyznacznik odwzorowania liniowego z  $B_1$  do  $B_2$  jest większy od zera. Wybór klasy orientacji nazywamy zorientowaniem  $V$ .

**Definicja 3.** Orientację standardową na  $\mathbb{R}^n$  nazywamy wybór zgodny z bazą standardową, tzn.

$$e_1 = \begin{bmatrix} 1 \\ 0 \\ 0 \\ \vdots \end{bmatrix}, \quad e_2 = \begin{bmatrix} 0 \\ 1 \\ 0 \\ \vdots \end{bmatrix}, \quad e_3 = \dots$$

**Definicja 4.** Niech  $M$  - rozmaitość zorientowana,  $\dim M = n$  i  $S = \{[a, b] \times [c, d] \ni (t_1, t_2) \rightarrow \varphi(t_1, t_2) \in M\}$  - powierzchnia sparametryzowana,  $\Lambda^2 M \ni \omega$  - dwuforma. Wówczas

$$\int_S \omega \stackrel{\text{def}}{=} \int_a^b \int_c^d \left\langle \varphi^* \omega, \underbrace{\pm \frac{\partial}{\partial t_1}, \pm \frac{\partial}{\partial t_2}}_{\text{zgodne z orientacją}} \right\rangle dt_1 dt_2.$$

**Przykład 3.** do 7:

weźmy  $\omega = A(x, y)dx + B(x, y)dy$  i obliczmy  $\int_P d\omega$ .

$$d\omega = \frac{\partial A}{\partial y} dy \wedge dx + \frac{\partial B}{\partial x} dx \wedge dy = \left( \frac{\partial B}{\partial x} - \frac{\partial A}{\partial y} \right) dx \wedge dy,$$

$$P = \left\{ (x, y) \in \mathbb{R}^2 : \begin{matrix} a \leq x \leq b \\ c \leq y \leq d \end{matrix} \right\}.$$



Wtedy mamy

$$\begin{aligned}
\int \int_P d\omega &= \int \int_{[a,b] \times [c,d]} \left\langle d\omega, \frac{\partial}{\partial x}, \frac{\partial}{\partial y} \right\rangle = \\
&= \int_a^b dx \int_c^d dy \left( \frac{\partial B}{\partial x} - \frac{\partial A}{\partial y} \right) = \int_c^d dy \int_a^b \frac{\partial B(x,y)}{\partial x} dx - \int_a^b dx \int_c^d dy \frac{\partial A}{\partial y} = \\
&= \int_c^d dy (B(b,y) - B(a,y)) - \left[ \int_a^b dx (A(x,d) - A(x,c)) \right] = \\
&= \int_a^b A(x,c) dx + \int_c^d B(b,y) dy - \int_a^c A(x,d) dx - \int_c^d B(a,y) dy = \\
&= \int_{L_1} \omega + \int_{L_2} \omega + \int_{L_3} \omega + \int_{L_4} \omega.
\end{aligned}$$

Czyli

$$\int \int_P d\omega = \int_L \omega,$$

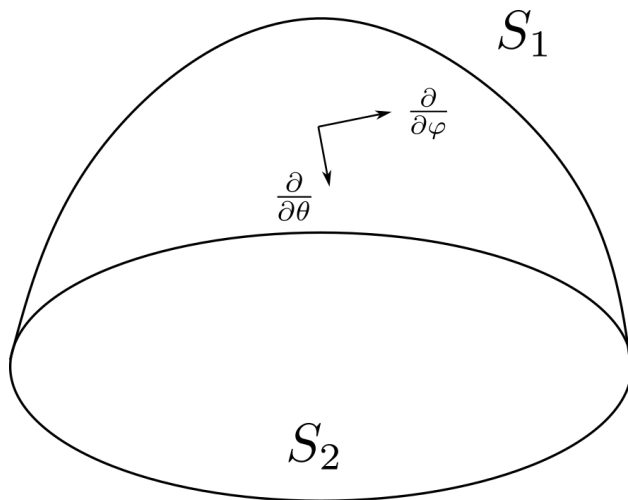
to kiedyś będzie twierdzenie Stokesa

**Przykład 4.** niech  $S = S_1 \cup S_2$ , gdzie

$$S_1 = \{(x, y, z) \in \mathbb{R}^3, x^2 + y^2 + z^2 = 1, z \geq 0\}, \quad S_2 = \{(x, y, z) \in \mathbb{R}^3, x^2 + y^2 \leq 1, z = 0\},$$

$\alpha \in \Lambda^2 M$ .

$$\int_S \alpha = \int_{S_1} \alpha + \int_{S_2} \alpha.$$



Rysunek 13: Tak to wygląda

**Definicja 5.** Atlasem zorientowanym nazywamy taki zbiór otoczeń i map  $(U_i, \varphi_i)$ , że dla każdej pary  $(U_i, \varphi_i), (U_j, \varphi_j)$  takiej, że  $U_i \cap U_j \neq \emptyset$ , odwzorowanie  $\det(\varphi_j \circ \varphi_i^{-1})' > 0$ .

**Definicja 6.** Rozmaitość składająca się z atlasu zorientowanego nazywamy zorientowaną.

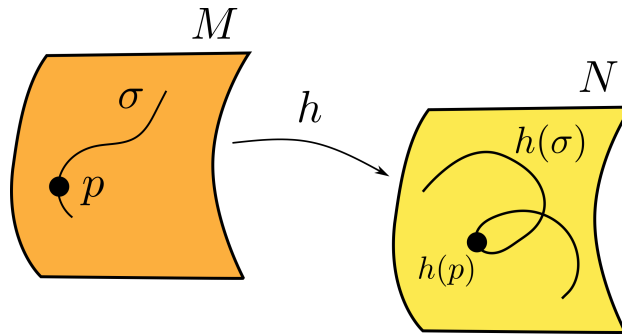
**Definicja 7.** Po wyborze orientacji, rozmaitość nazywamy zorientowaną.

### 3 Wykład (11.10.2019)

#### 3.1 Przypomnienie

(rys 1)

Dla  $v \in T_p M$ , jest



Rysunek 14: Przypomnienie

$$h_* v = \frac{d}{dt} h(\sigma(t)) = h'(\sigma(t)) \sigma'(t),$$

czyli  $v = [\sigma] = \frac{d}{dt} \sigma(t)$ ,

$$h_* v = \begin{matrix} h'(\sigma(t)) \\ \text{macierz kwadratowa} \end{matrix} v.$$

**Przykład 5.** Niech

$$S^2 = \{(x, y, z) \in \mathbb{R}^3, x^2 + y^2 + z^2 = 1\}.$$

$$U_1^+ = \{(x, y, z) \in \mathbb{R}^3, x > 0\} \cap S^2.$$

$$U_1^- = \{(x, y, z) \in \mathbb{R}^3, x < 0\} \cap S^2.$$

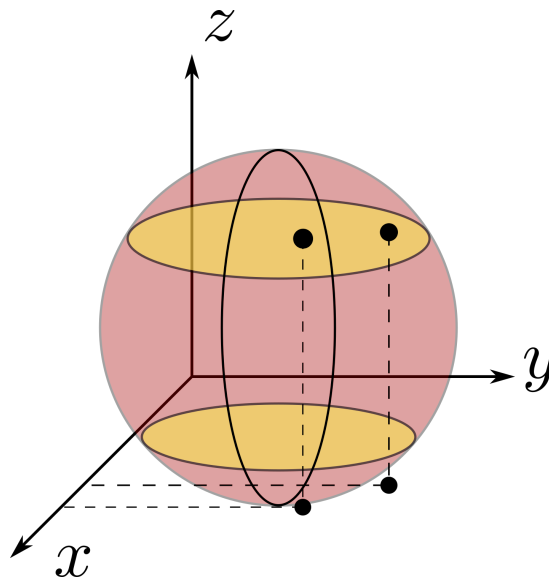
$$U_2^+ = \{(x, y, z) \in \mathbb{R}^3, y > 0\} \cap S^2.$$

$$U_2^- = \{(x, y, z) \in \mathbb{R}^3, y < 0\} \cap S^2.$$

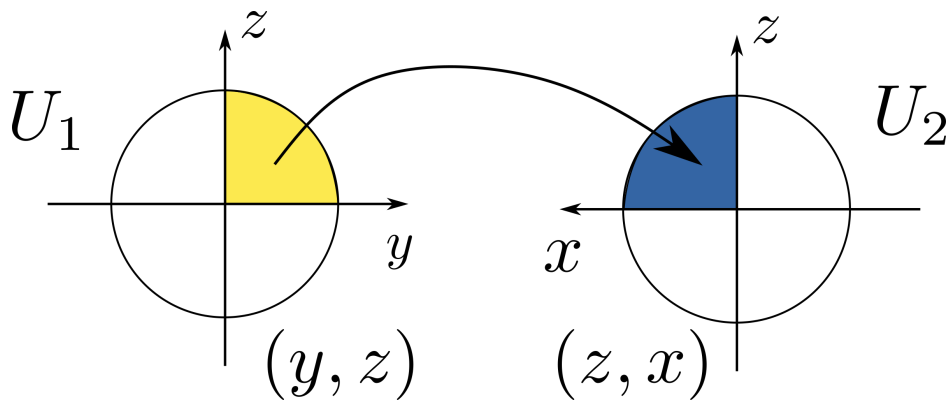
$$U_3^+ = \{(x, y, z) \in \mathbb{R}^3, z > 0\} \cap S^2.$$

$$U_3^- = \{(x, y, z) \in \mathbb{R}^3, z < 0\} \cap S^2.$$

Te mapy przerzucają (rys 2) na np. (rys 3).



Rysunek 15: fig3-2



Rysunek 16: fig3-3

$$y = \sqrt{1 - x^2 - z^2}$$

$$z = z$$

$$(x > 0, z > 0).$$

$$(z, x) \rightarrow h(z, x) = \begin{bmatrix} z \\ \sqrt{1 - x^2 - z^2} \end{bmatrix}$$

$$h' = \begin{bmatrix} \frac{\partial}{\partial z} (\sqrt{1 - x^2 - z^2}) & \frac{\partial}{\partial x} (\sqrt{1 - x^2 - z^2}) \\ \frac{\partial}{\partial z} (z) & \frac{\partial}{\partial x} (x) \end{bmatrix} = \begin{bmatrix} \frac{-2z}{2\sqrt{1 - x^2 - z^2}} & \frac{-2x}{2\sqrt{1 - x^2 - z^2}} \\ 1 & 0 \end{bmatrix}.$$

$$\det h' = \frac{x}{\sqrt{1 - x^2 - z^2}} > 0, \quad \begin{matrix} x > 0 \\ z > 0 \end{matrix}.$$

**Przykład 6.** Wstęga Moebiusa zbudowana z walca o wysokości  $2L$  i promieniu  $R$ . (rys 4)

$$\begin{aligned} x(\theta, t) &= \left( R - t \sin \left( \frac{\theta}{2} \right) \right) \sin \theta \\ y(\theta, t) &= \left( R - t \sin \left( \frac{\theta}{2} \right) \right) \cos \theta \\ z(\theta, t) &= \left( t \cos \frac{\theta}{2} \right). \end{aligned}$$

To jeszcze nie jest bijekcja - potrzebna druga mapa.

Mamy  $\theta'$  i  $t'$ .

$$\begin{aligned} x'(\theta', t') &= \left( R - t' \sin \left( \frac{\frac{\pi}{2} + \theta'}{2} \right) \right) \cos \theta' \\ y'(\theta', t') &= - \left( R - t' \sin \left( \frac{\frac{\pi}{2} + \theta'}{2} \right) \right) \sin \theta' \\ z'(\theta', t') &= t' \cos \left( \frac{\frac{\pi}{2} + \theta'}{2} \right). \end{aligned}$$

Obszary wspólne: (rys 5)

$$\begin{aligned} W_1 &= \left\{ 0 < \theta < \frac{\pi}{2} \right\} = \left\{ \frac{3}{2}\pi < \theta' < 2\pi \right\} \\ W_2 &= \left\{ \frac{\pi}{2} < \theta < 2\pi \right\} = \left\{ 0 < \theta' < \frac{3}{2}\pi \right\}. \end{aligned}$$

Dla  $W_1$

$$\begin{cases} \theta' &= \theta + \frac{3}{2}\pi \\ t' &= -t, \end{cases}$$

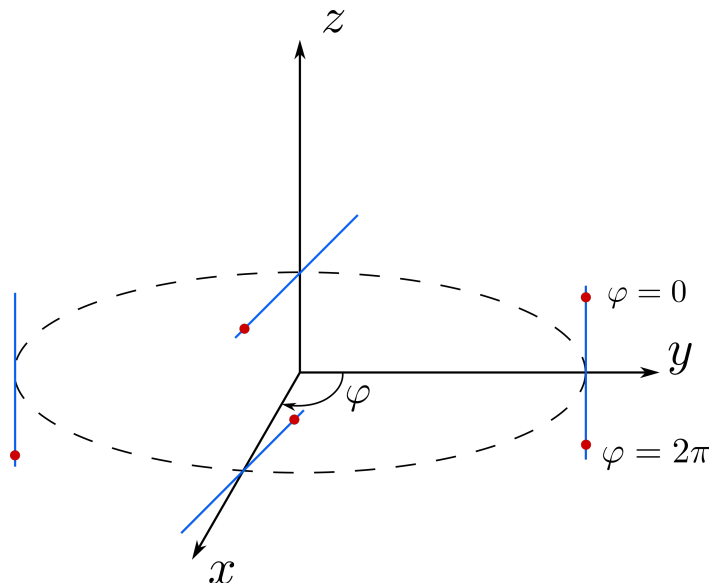
dla  $W_2$

$$\begin{cases} \theta' &= \theta - \frac{\pi}{2} \\ t' &= t. \end{cases}$$

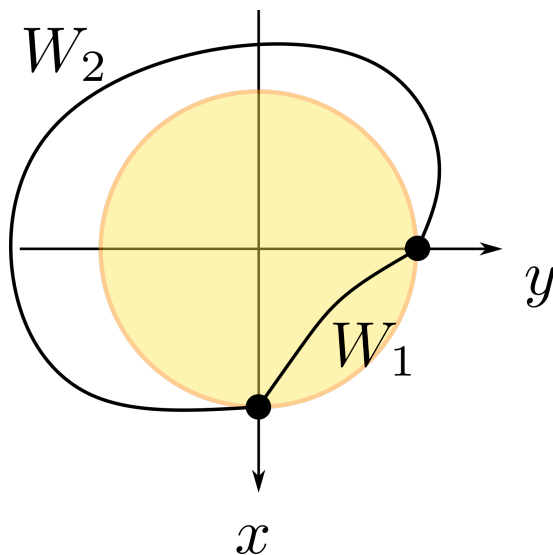
Szukamy macierzy przejścia

$$\varphi'_1(\theta, t) = \begin{bmatrix} 1 & 0 \\ 0 & -1 \end{bmatrix}, \quad \varphi'_2(\theta, t) = \begin{bmatrix} 1 & 0 \\ 0 & 1 \end{bmatrix},$$

$$\det \varphi'_1 < 0 \quad \det \varphi'_2 > 0.$$



Rysunek 17: Gdzie wylądaje biedronka idąc prosto po wstędze?



Rysunek 18: Obszary wspólne

### 3.2 Chcemy dojść do twierdzenia Stokesa na kostce w $\mathbb{R}^n$

1. Niech  $I^n = [0, 1] \times [0, 1] \times \dots \times [0, 1] \in \mathbb{R}^n$  (np. rys 6)

Wprowadźmy oznaczenia:

$$I_{(i,0)}^n := \{ (x^1, \dots, x^{i-1}, 0, x^{i+1}, \dots, x^n) \in \mathbb{R}^n, 0 \leq x^j \leq 1 \}.$$

$$I_{(i,1)}^n := \{ (x^1, \dots, x^{i-1}, 1, x^{i+1}, \dots, x^n) \in \mathbb{R}^n, 0 \leq x^j \leq 1 \}.$$

(odpowiednio: ścianka tylna i przednia)

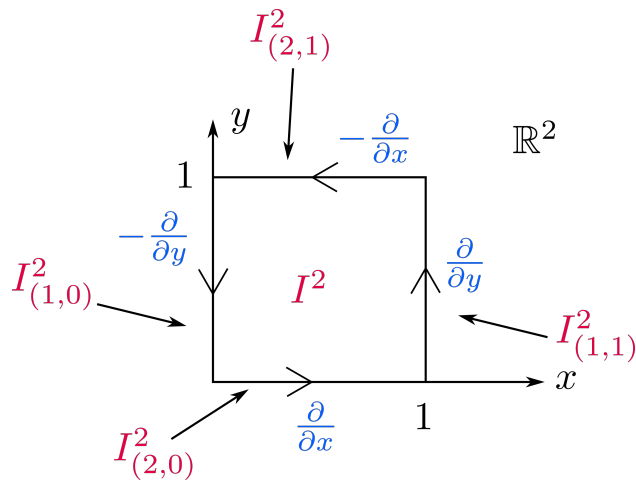
$$\partial I^2 \stackrel{\text{def}}{=} I_{(2,0)}^2 = I_{(1,1)}^2 + I_{(2,1)}^2 + I_{(1,0)}^2,$$

(tutaj przepis na dodawanie na rysunku 6)

- ścianki takie zawsze będą przeciwnej orientacji.

Zdefiniujmy "zbiór"

$$\partial I^n = \sum_{i=1}^n \sum_{\alpha=0,1} (-1)^{\alpha+i} I_{i,\alpha}^n,$$



Rysunek 19: fig3-6

który nazwiemy brzegiem zorientowanym kostki  $I^n$ .

Niech  $M$  - rozmaitość,  $\dim M = n$ ,  $I^n \in M$ . Niech  $\omega \in \Lambda^{n-1}(M)$ . Chcemy obliczyć  $\int_{\partial I^n} \omega$ . Dowolna  $n-1$  forma z  $\Lambda^{n-1}(M)$  ma postać

$$\begin{aligned} \omega = & f_1(x^1, \dots, x^n) dx^2 \wedge \dots \wedge dx^n + \\ & + f_2(x^1, \dots, x^n) dx^1 \wedge dx^3 \wedge \dots \wedge dx^n + \dots + \\ & + f_i(x^1, \dots, x^n) dx^1 \wedge \dots \wedge dx^{i-1} \wedge dx^{i+1} \wedge \dots \wedge dx^n + \dots + \\ & + f_n(x^1, \dots, x^n) dx^1 \wedge \dots \wedge dx^{n-1}. \end{aligned}$$

Ponieważ  $\int_{\partial I^n} \omega$  rozbije się na  $n$  składników, wystarczy, że udowodnimy Tw. Stokesa dla

$$\omega = f(x^1, \dots, x^n) dx^1 \wedge \dots \wedge dx^{i-1} \wedge dx^{i+1} \wedge \dots \wedge dx^n.$$

Obliczmy

$$\begin{aligned} \int_{\partial I^n} \omega &= \sum_{j=1}^n \sum_{\alpha=0,1} (-1)^{j+\alpha} \int_{I^n(j,\alpha)} \left\langle f(x^1, \dots, x^n) dx^1 \wedge \dots \wedge dx^{i-1} \wedge dx^{i+1} \wedge \dots \wedge dx^n, \frac{\partial}{\partial x^1}, \dots, \frac{\partial}{\partial x^{j-1}}, \frac{\partial}{\partial x^{j+1}}, \dots, \frac{\partial}{\partial x^n} \right\rangle \\ & \quad dx^1 \dots dx^{j-1} dx^{j+1} \dots dx^n = \\ &= \begin{cases} 0 & i \neq j \\ \sum_{j=1}^n \sum_{\alpha=0,1} (-1)^{j+\alpha} \int_{I^n_{j,\alpha}} f(x^1, \dots, x^n) dx^1 \dots dx^{j-1} dx^{j+1} \dots dx^n & i = j \end{cases} \quad \text{w.p.p..} \end{aligned}$$

## 4 Wykład (14.10.2019)

### 4.1 Końcówka dowodu (Stokesa na kostce)

Dowód. mamy definicję ścianki:

$$\partial I = \sum_{j=1}^n \sum_{\alpha=0,1} (-1)^{\alpha+j} I_{(j,\alpha)},$$

dla  $I^n \subset \mathbb{R}^n$ ,  $\omega \in \Lambda^{n-1}(M)$ ,  $\omega = f(x^1, \dots, x^n) = dx^1 \wedge \dots \wedge dx^{i-1} \wedge dx^{i+1} \wedge \dots \wedge dx^n$ . Wtedy dla  $x = (x^1, \dots, x^n)$  i  $d\tilde{x} = dx^1 \wedge \dots \wedge dx^{i-1} \wedge dx^{i+1} \wedge \dots \wedge dx^n$

$$\begin{aligned} & \int_{I(j,\alpha)} \left\langle f(x) d\tilde{x}, \frac{\partial}{\partial x^1}, \dots, \frac{\partial}{\partial x^{j-1}}, \frac{\partial}{\partial x^{j+1}}, \dots, \frac{\partial}{\partial x^n} \right\rangle = \\ & = \begin{cases} 0 & j \neq i \\ \int_{I(i,\alpha)} f(x^1, \dots, x^{i-1}, \alpha, x^{i+1}, \dots, x^n) d\tilde{x} = \int_0^1 dx^1 \dots \int_0^1 dx^{i-1} \int_0^1 dx^{i+1} \dots \int_0^1 dx^n f(x^1, \dots, x^{i-1}, \alpha, x^{i+1}, \dots, x^n) \stackrel{(*)}{=} & \text{wp.p.} \end{cases} \\ & \stackrel{(*)}{=} \int_0^1 dx^1 \dots \int_0^1 dx^n f(x^1, \dots, x^{i-1}, \alpha, x^{i+1}, \dots, x^n) = \int_{I^n} f(x^1, \dots, x^{i-1}, \alpha, x^{i+1}, \dots, x^n). \end{aligned}$$

Przechodzimy do sumy

$$\begin{aligned} \int_{\partial I} \omega &= \sum_{j=1}^n \sum_{\alpha=0,1} (-1)^{\alpha+j} \int_{I(j,\alpha)} \omega = \\ &= \sum_{\alpha=0,1} (-1)^{\alpha+i} \int_{I^n} f(x^1, \dots, x^{i-1}, \alpha, x^{i+1}, \dots, x^n) = \\ &= (-1)^{i+0} \int_{I^n} f(x^1, \dots, x^{i-1}, 0, x^{i+1}, \dots, x^n) + (-1)^{i+1} \int_{I^n} f(x^1, \dots, x^{i-1}, 1, x^{i+1}, \dots, x^n). \end{aligned}$$

$$\begin{aligned} d\omega &= \frac{\partial f}{\partial x^i} dx^i \wedge dx^1 \wedge \dots \wedge dx^{i-1} \wedge dx^{i+1} \wedge \dots \wedge dx^n = \\ &= (-1)^{i+1} \frac{\partial f}{\partial x^i} dx^1 \wedge \dots \wedge dx^{i-1} \wedge dx^i \wedge dx^{i+1} \wedge \dots \wedge dx^n. \end{aligned}$$

Stąd

$$\begin{aligned} & (-1)^{i+1} \int_{I^n} \left\langle \frac{\partial f}{\partial x^i} dx^i, dx^1, \dots, dx^n, \frac{\partial}{\partial x^1}, \dots, \frac{\partial}{\partial x^n} \right\rangle = (-1)^{i+1} \int_0^1 dx^1 \dots \int_0^1 dx^i \dots \int_0^1 dx^n \frac{\partial f}{\partial x^i}(x) = \\ &= (-1)^{i+1} \int_0^1 dx^1 \dots \int_0^1 dx^{i-1} \int_0^1 dx^{i+1} \dots \int_0^1 dx^n \cdot \\ & \cdot [f(x^1, \dots, x^{i-1}, 1, x^{i+1}, \dots, x^n) - f(x^1, \dots, x^{i-1}, 0, x^{i+1}, \dots, x^n)] \\ &= (-1)^{i+1} \int_0^1 dx^1 \dots \int_0^1 dx^i \dots \int_0^1 dx^n \cdot \\ & \cdot [f(x^1, \dots, x^{i-1}, 1, x^{i+1}, \dots, x^n) - f(x^1, \dots, x^{i-1}, 0, x^{i+1}, \dots, x^n)] = \\ &= (-1)^{i+1} \int_{I^n} [f(x^1, \dots, x^{i-1}, 1, x^{i+1}, \dots, x^n) - f(x^1, \dots, x^{i-1}, 0, x^{i+1}, \dots, x^n)]. \end{aligned}$$

$$LHS = RHS.$$

□

**Uwaga:** Większą kostkę (w sensie długości krawędzi) możemy zawsze podzielić na sumę zorientowanych wspólnie kostek  $I^n$ . Całki na tych ścianach kostek, które się stykają dadzą w efekcie zero.

**Przykład 7.** Niech  $[a, b] \in \mathbb{R}^1$  i  $f \in \Lambda^0([a, b])$ . Wtedy twierdzenie Stokesa wygląda tak ( $xD$ ):

$$\int_{\partial[a,b]} f = \int_{[a,b]} df = \int_a^b \left\langle \frac{\partial f}{\partial x} dx, \frac{\partial}{\partial x} \right\rangle dx = \int_a^b \frac{\partial f}{\partial x} dx = f(b) - f(a).$$

**Przykład 8.** Niech  $\gamma$  - krzywa na  $M$ ,  $\dim M = 3$ ,  $f \in \Lambda^0 M$ .

$$\int_{\gamma} df = \int_{\partial\gamma} f = f(B) - f(A).$$

**Przykład 9.**  $\dim M = 2$ , niech  $\alpha = xydx + x^2dy$ . Policzmy  $\int_{\partial S} \alpha$ .

$$\int_{\partial S} \alpha = \int_{C_1} \alpha + \int_{C_2} \alpha + \int_{C_3} \alpha,$$

ale

$$\int_{C_1} \left\langle \varphi^* \alpha, \frac{\partial}{\partial x} \right\rangle = 0,$$

$\varphi$  - parametryzacja  $C_1$ . Jeżeli weźmiemy sobie

$$\int_{C_3} \left\langle \varphi_3^* \alpha, -\frac{\partial}{\partial y} \right\rangle = 0,$$

$\varphi_3$  - parametryzacja  $C_3$ .

$$C_2 = \left\{ \begin{bmatrix} \cos \theta \\ \sin \theta \end{bmatrix}, 0 \leq \theta \leq \frac{\pi}{2} \right\},$$

zatem  $\varphi_2^* \alpha$  przy  $x = \cos \theta \implies dx = -\sin \theta d\theta$ ,  $y = \sin \theta \implies dy = \cos \theta d\theta$ , mamy

$$\varphi_2^* \alpha = \cos \theta \sin \theta (-\sin \theta d\theta) + (\cos^2 \theta) \cos \theta d\theta = \cos \theta (\cos^2 \theta - \sin^2 \theta) d\theta.$$

$$\int_{\partial S} \alpha = \int_0^{\frac{\pi}{2}} d\theta \left\langle \cos \theta (\cos^2 \theta - \sin^2 \theta) d\theta, \frac{\partial}{\partial \theta} \right\rangle,$$

ale np. tw. Stokesa:  $\int_{\partial S} \alpha = \int_S d\alpha$ .

$$d\alpha = xdy \wedge dx + 2xdx \wedge dy = xdx \wedge dy.$$

$$\int_{\square} \left\langle xdx \wedge dy, \frac{\partial}{\partial x}, \frac{\partial}{\partial y} \right\rangle = \int_0^1 dx \int_0^{\sqrt{1-x^2}} x = \int_0^1 dx \cdot x \sqrt{1-x^2} = \frac{2}{3} (1-x^2)^{\frac{3}{2}} \frac{(-1)}{2} \Big|_0^1 = \frac{1}{3}.$$

**Przykład 10.** Niech  $\alpha = \frac{-y}{x^2+y^2} dx + \frac{x}{x^2+y^2} dy \in \Lambda^1(M)$ ,  $\partial K = \left\{ \begin{bmatrix} \cos \theta \\ \sin \theta \end{bmatrix}, 0 \leq \theta, 2\pi \right\}$

$$\int_{\partial K} \alpha = \int_0^{2\pi} \left\langle \varphi^* \alpha, \frac{\partial}{\partial \theta} \right\rangle d\theta.$$

$$\varphi^* \alpha = -\sin \theta (-\sin \theta) d\theta + \cos \theta \cos \theta d\theta = d\theta.$$

Czyli mamy

$$\int_{\partial K} \alpha = \int_0^{2\pi} d\theta = 2\pi.$$

Ale z drugiej strony dla

$$d\alpha = \left[ \left( -\frac{1}{x^2+y^2} + \frac{2y \cdot y}{(x^2+y^2)^2} \right) dy \wedge dx + \left( \frac{1}{x^2+y^2} - \frac{2x^2}{(x^2+y^2)^2} \right) dx \wedge dy \right] = \left( \frac{2}{x^2+y^2} - \frac{2}{x^2+y^2} \right) dx \wedge dy = 0$$

wyjdzie, że twierdzenie Stokesa się złamało.

Wiemy, że

$$\int_{\gamma} df = \int_{\partial \gamma} f = f(B) - f(A).$$

Niech  $\alpha = x^2 dx + xydy + 2dz$ .  $\alpha$  jest potencjalna, jeżeli

$$\exists_{\eta \in \Lambda^0 M} d\eta = \alpha \implies d(d\eta) = 0,$$

(rotacja gradientu równa zero)

$$\int_{\gamma} \alpha = \int_{\gamma} d\eta = \eta(B) - \eta(A).$$

**Definicja 8.** Niech  $M$  - rozmaitość,  $\dim M = n$ ,

$$i_v : T_p M \times \Lambda^k M \rightarrow \Lambda^{k-1} M$$

zdefiniowana następująco:

1.  $i_v f = 0$ , jeżeli  $f \in \Lambda^0 M$
2.  $i_v dx^i = v^i$ , jeżeli  $v = v^1 \frac{\partial}{\partial x^1} + \dots + v^i \frac{\partial}{\partial x^i} + \dots + v^n \frac{\partial}{\partial x^n}$
3.  $i_v(\omega \wedge \theta) = i_v(\omega) \wedge \theta + (-1)^{st\omega} \omega \wedge i_v(\theta)$ .

Operację  $i_v$  nazywamy iloczynem zewnętrznym i oznaczamy poprzez

$$i_v(\omega) \stackrel{\text{ozn}}{=} v(\text{odwrocone}L)\omega.$$

**Obserwacja:**  $i_v(i_v\omega) = 0$  (w domu)

**Przykład 11.** Niech  $v = x\frac{\partial}{\partial x} + y\frac{\partial}{\partial y} + z\frac{\partial}{\partial z}$ ,

$$\omega = dx \wedge dy + dz \wedge dx.$$

$$v(\text{odwrocone}L)\omega = \langle dx, v \rangle \wedge dy + (-1)^1 dx \langle dy, v \rangle + \langle dz, v \rangle \wedge dx + (-1)^1 dz \wedge \langle dx, v \rangle.$$

**Przykład 12.**

$$F = E^x dx \wedge dt + E^y dy \wedge dt + E^z dz \wedge dt + B^x dy \wedge dz + B^y dz \wedge dx + B^z dx \wedge dy.$$

$$j = e\frac{\partial}{\partial t} + ev^x\frac{\partial}{\partial x} + ev^y\frac{\partial}{\partial y} + ev^z\frac{\partial}{\partial z}.$$

$$j(\text{odwrocone}L)F = ?.$$



## 5 Wykład (18.10.2019)

Sprawdzić, że

$$j_{\perp} F = "e \cdot E + e(v \times B)".$$

**Przykład 13.** Niech  $X = \dot{x}(t) \frac{\partial}{\partial x} + \dot{p}(t) \frac{\partial}{\partial p}$ ,  $\omega = dx \wedge dp \in \Lambda^2(M)$ ,

$$\Lambda^0 M \ni H = \frac{p^2}{2m} + \frac{1}{2} kx^2.$$

Niech  $M$  - rozmaitość,  $\dim M = 2$ . Co oznacza napis

$$x_{\perp} \omega = dH? \\ \left\langle dx, x(t) \frac{\partial}{\partial x} + p(t) \frac{\partial}{\partial p} \right\rangle dp - \left\langle dp, \dot{x}(t) \frac{\partial}{\partial x} + \dot{p}(t) \frac{\partial}{\partial p} \right\rangle dx = dH,$$

a teraz coś takiego:

$$x(t)dp - p(t)dx = \frac{p^2}{m} dp + kx^2 dx.$$

To wypływa z wyjściu równania ruchu

$$\frac{dx}{dt} = \frac{p}{m}, \quad \dot{p}(t) = -kx \\ m \frac{dx}{dt} = p, \quad \frac{dp}{dt} = -kx.$$

### 5.1 Rozmaitość z brzegiem

**Obserwacja:**

(rys 5-1) Niech  $I = [0, 1[ \subset \mathbb{R}$ , (metryka  $d(x, y) = |x - y|$ ) czy  $I$  jest otwarty w  $\mathbb{R}$ ? *chyba nie*.

Niech  $I = [0, 1[ \subset [0, 2]$ , czy  $I$  jest otwarty w  $[0, 2]$ ? *chyba tak*.

$$B(0, 1) = \{x \in [0, 2], \quad d(0, x) < 1\} = [0, 1[.$$

**Definicja 9.**

$$\mathbb{R}_+^m = \{(x^1, \dots, x^{m-1}, x^m), \quad x^1, \dots, x^{m-1} \in \mathbb{R}, \quad x^m \geq 0\},$$

$$\mathbb{R}_0^m = \{(x^1, \dots, x^{m-1}, 0), \quad x^1, \dots, x^{m-1} \in \mathbb{R}\}.$$

Niech  $M$  - rozmaitość, jeżeli atlas rozmaitości  $M$  składa się z takich map  $\varphi_{\alpha}$ , że

$$\varphi_{\alpha}(\mathcal{O}) \subset \mathbb{R}_+^m,$$

( $\mathcal{O}$  - otwarty w  $M$ ), gdzie  $\varphi_{\alpha}(\mathcal{O})$  - otwarte w  $\mathbb{R}_+^m$ , to  $M$  nazywamy rozmaitością z brzegiem. Jeżeli  $p \in M$  i  $\varphi_{\alpha}(p) \in \mathbb{R}_0^m$ , to mówimy, że  $p$  należy do brzegu  $M$ .

(brzeg rozmaitości  $M$  oznaczamy przez  $\partial M$ )

**Pytanie 1.** Co to jest różniczkowalność  $\varphi^{-1}$ , jeżeli dziedzina  $\varphi^{-1} \in \mathbb{R}_+^m$ , który nie jest otwarty w  $\mathbb{R}^m$ ?

Mówimy wówczas tak:

**Definicja 10.** Niech  $U \subset \tilde{U}$ ,  $\tilde{U}$  - otwarty w  $\mathbb{R}^m$ ,  $U$  - otwarty w  $\mathbb{R}_+^m$ .  $\varphi$  jest klasy  $C^r$  na  $U$ , jeżeli istnieje  $\tilde{\varphi}$  klasy  $C^r$  na  $\tilde{U}$  i  $\tilde{\varphi}|_U = \varphi$ .

(rys 5-3)

**Pytanie 2.** Czym jest  $\partial S$ , jeżeli  $S$  - okrąg?

Odp.  $\partial S = \{\phi\}$ .

Jeszcze takie uzasadnienie: (rys 5-4)

sześcian  $\xrightarrow{\partial}$  boki sześcianu  $\xrightarrow{\partial}$  rogi sześcianu,

kula  $\xrightarrow{\partial}$  sfera  $\xrightarrow{\partial} \{\phi\}$ .

**Obserwacja:**

Zbiór  $\partial M$  wraz z mapami  $\varphi_{\alpha}|_{\partial M}$  i otoczeniami obciętych do  $\mathcal{O}|_{\partial M}$  jest rozmaitością o wymiarze  $m - 1$ , jeżeli  $\dim M = m$ .

**Definicja 11.** Niech  $p \in \partial M$ ,  $\langle f_1, \dots, f_{m-1} \rangle$  - baza  $T_p \partial M$ , wybierzmy orientację na  $M$  (rys 5-5).

Niech  $\sigma$  - krzywa na  $M$  taka, że

$$\varphi_\alpha \sigma = (0, \dots, 0, t) \in \mathbb{R}_+^m,$$

niech  $\bar{n} = [\sigma]$ . Mówimy, że orientacja  $\partial M$  jest zgodna z orientacją  $M$ , jeżeli orientacja  $\langle \bar{n}, f_1, \dots, f_{m-1} \rangle$  jest zgodna z orientacją  $M$ .

(rys 5-6) Niech  $M$  - rozmaitość,  $U \subset M$ ,  $\dim M = n$ ,  $\omega \in \Lambda^k M$ ,  $\varphi_1 : U_1 \rightarrow T$  - parametryzacja  $T$  oraz  $\varphi_2 : U_2 \rightarrow T$  - parametryzacja  $T$ . Z własności funkcji  $\varphi_1$  i  $\varphi_2$  wiemy, że

$$\exists_h : \mathbb{R}^n \supset U_2 \rightarrow U_1 \subset \mathbb{R}^n \implies \varphi_2 = \varphi_1 \circ h.$$

Wówczas

$$\int_T \omega = \int_{U_1} \varphi_1^* \omega = \int_{U_2} h^* (\varphi_1^* \omega) \stackrel{(\Delta)}{=} \int_{U_2} (\varphi_1 \circ h)^* \omega = \int_{U_2} \varphi_2^* \omega.$$

( $\Delta$ ) - (rys 5-7)

$$\langle (kL)^* \omega, v \rangle = \langle \omega, (kL)_* v \rangle = \langle k^* \omega, L_* v \rangle = \langle L^* k^* \omega, v \rangle,$$

ale jeżeli  $v = [\sigma(t)]$ ,  $v = \frac{d}{dt} \bar{\sigma}$  to

$$(kL)_* v = \frac{d}{dt} (k(L(\bar{\sigma}(t)))) = k'(L' \cdot \sigma'(t)) = k_* L_* v.$$

**Wniosek:** całka z formy po rozmaitości nie zależy od wyboru parametryzacji

## 5.2 Lemat Poincare

Mieliśmy  $\omega = \frac{ydx}{x^2+y^2} - \frac{xdy}{x^2+y^2}$ , wiemy, że  $d\omega = 0$ . **Pytanie:** czy istnieje  $\eta$  taka, że  $\omega = d\eta$ ? Wówczas wiemy, że  $d\omega = d(d\eta) = 0$ .

**Obserwacja:**

$$\eta = \arctg \frac{x}{y}, \quad d\eta = \frac{1}{1 + (\frac{x}{y})^2} \frac{1}{y} dx - \frac{1}{1 + (\frac{x}{y})^2} \frac{x}{y^2} dy = \omega$$

## 6 Wykład (21.10.2019)

**Definicja 12.** Niech  $\mathcal{O} \subset \mathbb{R}^n$ . Zbiór  $\mathcal{O}$  nazywamy *ściągłym*, jeżeli istnieje  $p \in \mathcal{O}$  i odwzorowanie  $h(p, x, t)$  takie, że

$$\forall_{x \in \mathcal{O}} \quad \begin{matrix} h(p, x, 0) = p \\ h(p, x, 1) = x \end{matrix}, \quad \forall_{t \in [0,1]} \quad h(p, x, t) \in \mathcal{O}, \quad h(p, x, t) - \text{ciągła}.$$

**Twierdzenie 1.** (rys 6-1) (Lemat Poincare)

Niech

$$\left( \begin{matrix} \mathcal{O} - \text{zbiór ściągły} \\ \dim \mathcal{O} = n \\ \omega \in \Lambda^{p-1}(\mathcal{O}) \\ d\omega = 0 \end{matrix} \right) \implies \left( \begin{matrix} \exists_{\eta} d\eta = \omega \\ \eta \in \Lambda^{p-1}(\mathcal{O}) \end{matrix} \right).$$

*Dowód.* Załóżmy, że zbiór  $\mathcal{O}$  jest zbiorem gwiazdistym, czyli

$$\exists_{p \in \mathcal{O}} \quad \forall_{x \in \mathcal{O}} \quad \left( \begin{matrix} \text{zbiór punktów postaci} \\ pq_1 + xq_2 : q_1 + q_2 = 1, q_1, q_2 > 0 \end{matrix} \right) \text{ (jest zawarty w } \mathcal{O} \text{)}.$$

**Obserwacja:** gdyby istniał operator  $T : \Lambda^p(\mathcal{O}) \rightarrow \Lambda^{p-1}(\mathcal{O})$ ,  $p = 1, 2, \dots, n-1$ , taki, że

$$Td + dT = id,$$

to twierdzenie byłoby prawdziwe. (bo dla  $\omega \in \Lambda^p(\mathcal{O})$  mielibyśmy  $Td(\omega) + d(T\omega) = \omega$ ).

Więc, gdy

$$d\omega = 0,$$

to

$$d(T\omega) = \omega,$$

czyli przyjmując

$$\eta = T\omega,$$

otrzymujemy

$$d(\eta_i) = \omega.$$

Łatwo sprawdzić, że operator

$$T_1(\omega) = \int_0^1 (t^{p-1} x \lrcorner \omega(tx)) dt,$$

$x = x^1 \frac{\partial}{\partial x^1} + x^2 \frac{\partial}{\partial x^2} + \dots + x^n \frac{\partial}{\partial x^n}$  spełnia warunek  $Td + dT = id$ .

**Przykład 14.**  $\omega \in \Lambda^1(M)$ ,  $\dim M = 3$ ,  $\omega = xdx + ydy + zdz$ . Wówczas, gdy  $(\bar{x} = x \frac{\partial}{\partial x} + y \frac{\partial}{\partial y} + z \frac{\partial}{\partial z})$  jest

$$T(\omega) = \int_0^1 t^{1-1} \left\langle \underbrace{(xt)dx + (yt)dy + (zt)dz}_{\omega(tx)}, \bar{x} \right\rangle dt = \int_0^1 t^0 (tx^2 + ty^2 + tz^2) dt = \frac{1}{2} (x^2 + y^2 + z^2) = \eta.$$

Zauważamy, że  $d\eta = \omega$  i działa (dla takiego radialnego pola wektorowego znaleźliśmy potencjał). (rys 6-2)

**Przykład 15.**  $\omega = xdx \wedge dy + ydy \wedge dz + zdx \wedge dz$ ,  $\omega \in \Lambda^2(M)$ ,  $\dim M = 3$ . Co to jest  $T\omega$ ?

$$\begin{aligned} T\omega &= \int_0^1 t^{2-1} x \lrcorner (xtdx \wedge dy + ytdy \wedge dz + ztdx \wedge dz) dt = \\ &= \int_0^1 t^1 (xtxdy - xtydx + ytydz - ytzdy + ztxdz - ztzdx) dt = \\ &= \frac{1}{3} (x^2 dy - xydx + y^2 dz - yzdy + zxdz - z^2 dx) = \eta \end{aligned}$$

Niech

$$T\omega = \int_0^1 t^{p-1} x \lrcorner \omega(tx) dx,$$

gdzie  $x = x^1 \frac{\partial}{\partial x^1} + \dots + x^n \frac{\partial}{\partial x^n}$ .

Chcemy pokazać, że

$$dT\omega + Td\omega = \omega,$$

gdzie

$$\begin{aligned}\omega(x) &= \sum_{i_1, \dots, i_p} \omega_{i_1, \dots, i_p}(x^1, \dots, x^n) dx^{i_1} \wedge \dots \wedge dx^{i_p}. \\ \omega &= \overset{\omega_{12}}{x} d \overset{i_1=1}{x} \wedge d \overset{i_2=2}{y} + \overset{\omega_{23}}{y} d \overset{i_1=2}{y} \wedge d \overset{i_2=3}{z} + \overset{\omega_{13}}{z} d \overset{i_1=1}{x} \wedge d \overset{i_2=3}{z}. \\ d\omega &= \sum_{i_1, \dots, i_p} \sum_{j=1}^n \frac{\partial \omega(x^1, \dots, x^n)}{\partial x^j} dx^j \wedge dx^{i_1} \wedge \dots \wedge dx^{i_p}.\end{aligned}$$

Liczymy

$$\begin{aligned}Td_{p+1 \text{ forma}} \omega &= \int_0^1 t^{p+1-1} \left( x^1 \frac{\partial}{\partial x^1} + \dots + x^n \frac{\partial}{\partial x^n} \right) \lrcorner \frac{\partial \omega(tx^1, \dots, tx^n)}{\partial x^j} dx^j \wedge dx^{i_1} \wedge \dots \wedge dx^{i_p} = \\ &= \sum_{j=1}^n \int_0^1 t^p dt \frac{\partial \omega(tx^1, \dots, tx^n)}{\partial x^j} x^j dx^{i_1} \wedge \dots \wedge dx^{i_p} + \sum_{j=1}^n \sum_{\alpha=1}^p \int_0^1 t^p dt \frac{\partial \omega(tx^1, \dots, tx^n)}{\partial x^j} x^{i_\alpha} dx^{i_1} \wedge \dots \wedge dx^{i_p} (-1)^\alpha.\end{aligned}$$

$$\begin{aligned}T\omega &= \int_0^1 t^{p-1} \left( x^1 \frac{\partial}{\partial x^1} + \dots + x^n \frac{\partial}{\partial x^n} \right) \lrcorner \omega_{i_1, \dots, i_p}(tx^1, \dots, tx^n) dx^{i_1} \wedge \dots \wedge dx^{i_p} = \\ &= \sum_{k=1}^p \int_0^1 dt \quad t^{p-1} \omega_{i_1, \dots, i_p}(tx^1, \dots, tx^n) x^k dx^{i_1} \wedge \dots \wedge dx^{i_p} (-1)^{k+1} = \\ &= \sum_{k=1}^p \int_0^1 dt t^{p-1} \omega_{i_1, \dots, i_p}(tx^1, \dots, tx^n) dx^{i_1} \wedge \dots \wedge dx^{i_p} + \sum_{k=1}^p \int_0^1 dt t^{p-1} \sum_{\alpha=1}^n \frac{\partial \omega_{i_1, \dots, i_p}(tx^1, \dots, tx^n)}{\partial x^\alpha} \cdot t \cdot x^{i_k} dx^\alpha \wedge dx^{i_1} \wedge \dots \wedge dx^{i_p}.\end{aligned}$$

Zatem dodajemy do siebie  $Td\omega + dT\omega$  i wychodzi

$$\begin{aligned}Td\omega + dT\omega &= \sum_{j=1}^n \int_0^1 dt \cdot t^p \frac{\partial \omega_{i_1, \dots, i_p}(tx^1, \dots, tx^n)}{\partial x^j} x^j dx^{i_1} \wedge \dots \wedge dx^{i_p} + \int_0^1 dt p \cdot t^{p-1} \omega_{i_1, \dots, i_p}(tx^1, \dots, tx^n) dx^{i_1} \wedge \dots \wedge dx^{i_p} + \underbrace{(\cdot) + (\cdot)}_{\text{równa się zero}} = \\ &= \int_0^1 dt \left( \frac{d}{dt} (t^p \omega(tx^1, \dots, tx^n) dx^{i_1} \wedge \dots \wedge dx^{i_p}) \right) = t^p (\omega(tx^1, \dots, tx^n) dx^1 \wedge \dots \wedge dx^p) \Big|_{t=0}^{t=1} = \omega.\end{aligned}$$

□

## 7 Wykład (25.10.2019)

**Definicja 13.** Jeżeli  $\alpha \in \Lambda^k(M)$  taka, że  $d\alpha = 0$ , to mówimy, że  $\alpha$  jest domknięta. Jeżeli  $\exists \eta$  taka, że  $d\eta = \alpha$ , to mówimy, że  $\alpha$  jest zupełna.

**Przykład 16.**  $\mathbf{E} = -\nabla\varphi$ ,  $\mathbf{B} = \text{rot}\mathbf{A}$ ,  $\mathbf{B} = -\nabla f(x, y, z)$ .

Dla  $\omega = \frac{ydx - xdy}{x^2 + y^2}$ , jest  $d\omega = 0$ . Było, że  $\eta = \text{artctg}(\frac{x}{y})$ ,  $d\eta = \omega$ . Problem leży w punkcie  $(0, 0)$  bo nie należy do dziedziny. (rys 7-1)

### 7.1 Zastosowania twierdzenia Stokesa (przypomnienie)

$$\int_M d\alpha = \int_{\partial M} \alpha.$$

Dostaliśmy wektor  $\begin{bmatrix} A^1 \\ A^2 \\ A^3 \end{bmatrix}$ , który jest w koszarnej bazie  $A^1 i_1 + A^2 i_2 + A^3 i_3$ , ale można go zamienić na coś fajniejszego  $A^1 \frac{1}{\sqrt{g_{11}}} \frac{\partial}{\partial x} + A^2 \sqrt{g^{22}} \frac{\partial}{\partial x^2} + A^3 \sqrt{g^{33}} \frac{\partial}{\partial x^3}$ .

Dla trójki wektorów  $v_1, v_2, v_3$ , ich  $|v_1, v_2, v_3|$  to objętość. Paweł wprowadził taki napis

$$G(v_1, v_2, v_3) = \begin{bmatrix} \langle v_1 | v_1 \rangle & \langle v_1 | v_2 \rangle & \langle v_1 | v_3 \rangle \\ \langle v_2 | v_1 \rangle & \langle v_2 | v_2 \rangle & \langle v_2 | v_3 \rangle \\ \langle v_3 | v_1 \rangle & \langle v_3 | v_2 \rangle & \langle v_3 | v_3 \rangle \end{bmatrix}.$$

i zdefiniował objętość tak:

$$\text{vol}(v_1, v_2, v_3) = \sqrt{G(v_1, v_2, v_3)}.$$
$$A = \mathbf{v}_1 \cdot (\mathbf{v}_2 \times \mathbf{v}_3) = \begin{bmatrix} v_1^1 & v_1^2 & v_1^3 \\ \dots & \dots & \dots \\ \dots & \dots & \dots \end{bmatrix}.$$

Teraz

$$(\det A)^2 = (\det A)(\det A) = \det(A) \det(A^T) = \det(A^T A) = \begin{bmatrix} - & v_1 & - \\ - & v_2 & - \\ - & v_3 & - \end{bmatrix} \begin{bmatrix} v^1 & v^2 & v^3 \end{bmatrix} = G(v_1, v_2, v_3).$$

**Definicja 14.** Niech  $M$  - rozmaitość i  $\gamma$  krzywa na  $M$ .

$$\gamma = \{\gamma(t) \in M, t \in [a, b]\}.$$

Wówczas

$$\|\gamma\| \stackrel{\text{def}}{=} \int_a^b \left\| \frac{\partial}{\partial t} \right\| dt,$$

dla

$$\|v\| = \sqrt{\langle v | v \rangle}.$$

**Przykład 17.** (rys 7-2)  $M$  takie, że  $\dim M = 2$

$$\gamma = \left\{ \begin{bmatrix} x(t) \\ y(t) \end{bmatrix} \in M, t \in [a, b] \right\}, \quad g_{ij} = \begin{bmatrix} 1 & \\ & 1 \end{bmatrix}.$$

$$\frac{\partial}{\partial t} = \begin{bmatrix} \dot{x}(t) \\ \dot{y}(t) \end{bmatrix}, \quad \left\| \frac{\partial}{\partial t} \right\| = \sqrt{\left\langle \frac{\partial}{\partial t} \middle| \frac{\partial}{\partial t} \right\rangle} = \sqrt{(\dot{x}(t))^2 + (\dot{y}(t))^2}.$$

$$\|\gamma\| = \int_a^b \sqrt{(x(t))^2 + (y(t))^2} dt.$$

dla zmiany parametryzacji na (rys 7-3) jest

$$\gamma = \int_A^B \left\| \frac{\partial}{\partial x} \right\| dx = \int_{x_0}^{x_1} \sqrt{1 + (f'(x))^2} dx.$$

$$\gamma = \left\{ \begin{bmatrix} x \\ f(x) \end{bmatrix} \in M, x_0 \leq x \leq x_1 \right\}.$$

$$\frac{\partial}{\partial x} = \begin{bmatrix} 1 \\ f'(x) \end{bmatrix}, \quad \left\| \frac{\partial}{\partial x} \right\| = \sqrt{\left\langle \frac{\partial}{\partial x}, \frac{\partial}{\partial x} \right\rangle}.$$

I zmiana na biegunowe (rys 7-4)

$$\gamma = \left\{ \begin{bmatrix} r(\varphi) \\ \varphi \end{bmatrix} \in M, \varphi_0 \leq \varphi \leq \varphi_1 \right\}.$$

$$\gamma = \int_A^B \left\| \frac{\partial}{\partial \varphi} \right\| d\varphi, \quad g_{ij} = \begin{bmatrix} 1 & \\ & r^2 \end{bmatrix}.$$

Wektorek styczny jest taki

$$\frac{\partial}{\partial \varphi} = \begin{bmatrix} \frac{\partial}{\partial \varphi} r(\varphi) \\ 1 \end{bmatrix}, \quad \left\langle \frac{\partial}{\partial \varphi} \middle| \frac{\partial}{\partial \varphi} \right\rangle = \left( \begin{bmatrix} 1 & \\ & r^2 \end{bmatrix} \begin{bmatrix} r(\varphi) \\ 1 \end{bmatrix} \right)^T \begin{bmatrix} r'(\varphi) \\ 1 \end{bmatrix}.$$

Ale my wiemy, że  $\langle v, w \rangle = g_{ij} v^i w^j$ , dalej jest

$$\begin{bmatrix} \frac{\partial r(\varphi)}{\partial \varphi} & r^2 \end{bmatrix} \begin{bmatrix} \frac{\partial r(\varphi)}{\partial \varphi} \\ 1 \end{bmatrix} = r^2 + \left( \frac{\partial r(\varphi)}{\partial \varphi} \right)^2.$$

I w związku z tym możemy podać od razu

$$\|\gamma\| = \int_{\varphi_0}^{\varphi_1} \sqrt{r^2 + \left( \frac{\partial r}{\partial \varphi} \right)^2} d\varphi.$$

W powietrzu wisi **NIEZALEŻNOŚĆ OD WYBORU PARAMETRYZACJI**, ale to po przerwie.  
Niech  $M = \mathbb{R}^3$ ,

$$D = \left\{ \begin{bmatrix} D^1(t^1, t^2) \\ D^2(t^1, t^2) \\ D^3(t^1, t^2) \end{bmatrix} \mid a \leq t_1 \leq b, \quad c \leq t_2 \leq d \right\}.$$

$$\|D\| = \int \text{vol} \left( \frac{\partial}{\partial t^1}, \frac{\partial}{\partial t^2} \right) dt^1 dt^2.$$

**Przykład 18.** Niech

$$D = \left( \begin{bmatrix} x \\ y \\ f(x, y) \end{bmatrix}, \quad a \leq x \leq b, \quad c \leq y \leq d \right).$$

Liczmy  $\text{vol}(\frac{\partial}{\partial x}, \frac{\partial}{\partial y})$

$$\frac{\partial}{\partial x} = \begin{bmatrix} 1 \\ 0 \\ \frac{\partial f}{\partial x} \end{bmatrix}, \quad \frac{\partial}{\partial y} = \begin{bmatrix} 0 \\ 1 \\ \frac{\partial f}{\partial y} \end{bmatrix}.$$

$$\text{vol}(\frac{\partial}{\partial x}, \frac{\partial}{\partial y}) = \sqrt{G\left(\frac{\partial}{\partial x}, \frac{\partial}{\partial y}\right)} = \sqrt{\left\| \begin{bmatrix} \left\langle \frac{\partial}{\partial x}, \frac{\partial}{\partial x} \right\rangle & \left\langle \frac{\partial}{\partial x}, \frac{\partial}{\partial y} \right\rangle \\ \left\langle \frac{\partial}{\partial y}, \frac{\partial}{\partial x} \right\rangle & \left\langle \frac{\partial}{\partial y}, \frac{\partial}{\partial y} \right\rangle \end{bmatrix} \right\|}.$$

$$G\left(\frac{\partial}{\partial x}, \frac{\partial}{\partial y}\right) = \left\| \begin{bmatrix} 1 + (f_{,x})^2 & (f_{,x})(f_{,y}) \\ (f_{,x})(f_{,y}) & 1 + (f_{,y})^2 \end{bmatrix} \right\| = (1 + (f_{,x})^2)(1 + (f_{,y})^2) - (f_{,x})^2(f_{,y})^2.$$

$$\|D\| = \int_a^b \int_c^d \underbrace{\sqrt{1 + (f_x)^2 + (f_y)^2}}_{ds} dx dy.$$

Wracamy do napisu

$$\int_U d\omega = \int_{\partial U} \omega.$$

Niech  $A$  - wektor w bazie ortonormalnej. Dla  $\dim M = 3$ ,  $g = \begin{bmatrix} g_{11} & & \\ & g_{22} & \\ & & g_{33} \end{bmatrix}$ ,

$$A = A^1 \sqrt{g^{11}} \frac{\partial}{\partial x^1} + A^2 \sqrt{g^{22}} \frac{\partial}{\partial x^2} + A^3 \sqrt{g^{33}} \frac{\partial}{\partial x^3}.$$

niech  $\alpha = A^\sharp \in \Lambda^1(M)$ ,  $\gamma$  - krzywa na  $M$ .

$$\alpha = g_{11} A^1 \sqrt{g^{11}} dx^1 + g_{22} A^2 \sqrt{g^{22}} dx^2 + g_{33} A^3 \sqrt{g^{33}} dx^3.$$

$$\int_{\gamma} \alpha = \int_{\gamma} A^{\sharp} = \int_{\gamma} \left\langle \varphi^{\star} \alpha, \frac{\partial}{\partial t} \right\rangle dt = \int_{\gamma} \left\langle \alpha, \varphi_{\star} \frac{\partial}{\partial t} \right\rangle dt = \int_{\gamma} \left\langle \alpha, \frac{\varphi_{\star} \frac{\partial}{\partial t}}{\left\| \varphi_{\star} \frac{\partial}{\partial t} \right\|} \right\rangle \left\| \varphi_{\star} \frac{\partial}{\partial t} \right\| dt.$$

Niech  $v = v^1 \frac{\partial}{\partial x^1} + v^2 \frac{\partial}{\partial x^2} + v^3 \frac{\partial}{\partial x^3}$ .

**Pytanie:** czym jest  $\langle \alpha, v \rangle$ ?

$$\langle \alpha, v \rangle = A^1 \sqrt{g^{11}} g_{11} v^1 + A^2 \sqrt{g^{22}} g_{22} v^2 + A^3 \sqrt{g^{33}} g_{33} v^3.$$

czyli mamy

$$\int_{\gamma} A^{\sharp} = \int_{\gamma} \mathbf{A} \cdot \underbrace{\mathbf{t}_{st} dL}_{d\mathbf{L}}.$$

Znowu wracamy do Stokesa.

Niech  $V \subset M$ ,  $\dim M = 3$ ,  $\dim V = 3$ . Wtedy tw. Stokesa znaczy

$$\int_V d\omega = \int_{\partial V} \omega, \quad \omega \in \Lambda^2(M).$$

Niech  $S \subset M$ ,  $\dim M = 3$ ,  $\dim S = 2$ .

$$\int_S d\alpha = \int_{\partial S} \alpha, \quad \alpha \in \Lambda^1(M).$$

**Pytanie 3.** Niech  $\alpha = A^{\sharp}$ , czym jest  $\int_S dA^{\sharp}$ ?

$$\begin{aligned} dA^{\sharp} &= \underbrace{\left( \left( g_{33} A^3 \sqrt{g^{33}} \right)_{,2} - \left( g_{22} A^2 \sqrt{g^{22}} \right)_{,3} \right)}_{D_1} dx^2 \wedge dx^3 + \underbrace{\left( \left( g_{11} A^1 \sqrt{g^{11}} \right)_{,3} - \left( g_{33} A^3 \sqrt{g^{33}} \right)_{,1} \right)}_{D_2} dx^3 \wedge dx^1 + \underbrace{(\dots)}_{D_3} dx^1 \wedge dx^2. \\ \int_S dA^{\sharp} &= \int \left\langle D^1 dx^2 \wedge dx^3, \frac{\partial}{\partial x^2}, \frac{\partial}{\partial x^3} \right\rangle + \left\langle D^2 dx^3 \wedge dx^1, \frac{\partial}{\partial x^3}, \frac{\partial}{\partial x^1} \right\rangle + \left\langle D^3 dx^1 \wedge dx^2, \frac{\partial}{\partial x^1}, \frac{\partial}{\partial x^2} \right\rangle. \\ &\quad \int \left\langle D^1 dx^2 \wedge dx^3, \frac{\frac{\partial}{\partial x^2}, \frac{\partial}{\partial x^3}}{\left\| \frac{\partial}{\partial x^2}, \frac{\partial}{\partial x^3} \right\|} \right\rangle \underbrace{\left\| \frac{\partial}{\partial x^2}, \frac{\partial}{\partial x^3} \right\|}_{ds} dx^2 dx^3 + \dots \end{aligned}$$

Pamiętamy, czym była  $\text{rot}(A) = (\star dA^{\sharp})^{\flat} = \int (\text{rot}(A)) \mathbf{n} ds$

## 8 Wykład (28.10.2019)

### 8.1 W ostatnim odcinku

$$\int_{\gamma} \alpha = \int_{\gamma} \vec{A} \cdot \underbrace{\vec{t}_{st} dL}_{d\vec{L}}.$$

$$dA^{\sharp} = \left( \overbrace{(\cdot), -(\cdot)}^{D_1} \right) dx^2 \wedge dx^3 + \dots$$

$$\int_S dA^{\sharp} = \int D^1 \left\langle dx^2 \wedge dx^3, \frac{\partial}{\partial x^2}, \frac{\partial}{\partial x^3} \right\rangle dx^2 dx^3 + \int D^2 dx^3 dx^1 + \int D^3 dx^1 dx^2.$$

Przypomnijmy sobie czym jest rotacja wektora (takiego fizycznego)

$$rot(\vec{A}) = \left( \star \left( d\vec{A}^{\sharp} \right) \right)^{\flat},$$

ale

$$\begin{aligned} \star(dx^2 \wedge dx^3) &= g^{22} g^{33} \sqrt{g} dx^1, \\ \star(dx^3 \wedge dx^1) &= g^{11} g^{33} \sqrt{g} dx^2, \\ \star(dx^1 \wedge dx^2) &= g^{11} g^{22} \sqrt{g} dx^3. \end{aligned}$$

Więc

$$\star dA^{\sharp} = D^1 g^{22} g^{33} \sqrt{g} dx^1 + D^2 g^{33} g^{11} \sqrt{g} dx^2 + D^3 g^{11} g^{22} \sqrt{g} dx^3.$$

$$\begin{aligned} (\star dA^{\sharp})^{\flat} &= D^1 g^{11} g^{22} g^{33} \sqrt{g} \frac{\partial}{\partial x^1} + D^2 g^{22} g^{33} g^{11} \sqrt{g} \frac{\partial}{\partial x^2} + D^3 g^{33} g^{11} g^{22} \sqrt{g} \frac{\partial}{\partial x^3} = \\ &= D^1 \sqrt{g^{22} g^{33}} \sqrt{g^{11}} \frac{\partial}{\partial x^1} + D^2 \sqrt{g^{11} g^{33}} \sqrt{g^{22}} \frac{\partial}{\partial x^2} + D^3 \sqrt{g^{11} g^{22}} \sqrt{g^{33}} \frac{\partial}{\partial x^3}. \end{aligned}$$

Czyli dla  $\vec{A}$  - wektor w bazie ortonormalnej jest

$$rot \vec{A} = \begin{bmatrix} D^1 \frac{1}{\sqrt{g_{22} g_{33}}} \\ D^2 \frac{1}{\sqrt{g_{11} g_{33}}} \\ D^3 \frac{1}{g_{11} g_{22}} \end{bmatrix}.$$

ale  $rot(\vec{A}) \cdot \vec{n} = D^1 \frac{1}{g_{22} g_{33}}$ , ale

$$\left( rot \vec{A} \cdot \vec{n} \right) \cdot d\vec{s} = D^1 \frac{1}{g_{22} g_{33}} \sqrt{g_{22} g_{33}} dx^2 dx^3,$$

zatem

$$\int_S dA^{\sharp} = \int_S (rot \vec{A}) \cdot \vec{n} ds.$$

Czyli teraz mamy tak

$$\begin{aligned} \int_{\gamma} A^{\sharp} &= \int_{\gamma} \vec{A} \cdot \vec{t}_{st} dL. \\ \int_S dA^{\sharp} &= \int_{\partial S} A^{\sharp}. \\ \int_S (rot \vec{A}) \cdot \vec{n} ds &= \int_{\partial S} \vec{A} \cdot \vec{t}_{st} dL. \end{aligned}$$

**Przykład 19.**  $\dim M = 3$ ,  $V \subset M$ ,  $\dim V = 3$

$$\int_{\partial V} \star A^{\sharp} = \int_V d \star A^{\sharp}.$$

**Pytanie 4.** *czym jest  $\int_{\partial V} \star A^{\sharp}$ ?*

$$\begin{aligned} \star(dx^1) &\sqrt{g} g^{11} dx^2 \wedge dx^3, \\ \star(dx^2) &\sqrt{g} g^{22} dx^3 \wedge dx^1, \\ \star(dx^3) &\sqrt{g} g^{33} dx^1 \wedge dx^2, \end{aligned}$$

**Odpowiedź:**

$$\star A^{\sharp} = A^1 g_{11} \sqrt{g^{11}} \sqrt{g} g^{11} dx^2 \wedge dx^3 + A^2 g_{22} \sqrt{g^{22}} \sqrt{g} g^{22} dx^3 \wedge dx^1 + A^3 g_{33} \sqrt{g^{33}} \sqrt{g} g^{33} dx^1 \wedge dx^2,$$



następuje cudowne skrócenie i jest

$$A^1 \sqrt{g_{22}g_{33}} \quad dx^2 \wedge dx^3 + A^2 \sqrt{g_{11}g_{33}} \quad dx^3 \wedge dx^1 + A^3 \sqrt{g_{11}g_{22}} \quad dx^1 \wedge dx^2.$$

Całka z tego interesu:

$$\int_{\partial V} \star A^\sharp = \int A^1 \sqrt{g_{22}g_{33}} \quad dx^2 dx^3 + \int A^2 \sqrt{g_{11}g_{33}} \quad dx^3 dx^1 + \int A^3 \sqrt{g_{11}g_{22}} \quad dx^1 dx^2,$$

ale

$$\vec{A} \cdot \vec{n} \cdot ds = A^1 \sqrt{g_{22}g_{33}} \quad dx^2 dx^3.$$

Czyli ostatecznie

$$\int_{\partial V} \star A^\sharp = \int_{\partial V} \vec{A} \cdot \vec{n} ds.$$

**Pytanie 5.** *Jak wygląda  $\int_V d \star A^\sharp$ ?*

$$\int_V d \star A^\sharp = \int_V \left\langle (A^1 \sqrt{g_{22}g_{33}})_{,1} + (A^2 \sqrt{g_{11}g_{33}})_{,2} + (A^3 \sqrt{g_{11}g_{22}})_{,3}, dx^1 \wedge dx^2 \wedge dx^3, \frac{\partial}{\partial x^1}, \frac{\partial}{\partial x^2}, \frac{\partial}{\partial x^3} \right\rangle dx^1 dx^2 dx^3.$$

Dywergencja to było coś takiego:

$$\operatorname{div} \vec{A} = \star d (\star A^\sharp),$$

wiemy, że

$$\star (dx^1 \wedge dx^2 \wedge dx^3) = \sqrt{g} g^{11} g^{22} g^{33} = \sqrt{g^{11} g^{22} g^{33}},$$

więc

$$\operatorname{div} \vec{A} \sqrt{g_{11}g_{22}g_{33}} \quad dx^1 dx^2 dx^3 = \operatorname{div} \vec{A} \quad dV.$$

Zatem ze zdania

$$\int_{\partial V} \star A^\sharp = \int_V d \star A^\sharp$$

wiemy, że

$$\int_{\partial V} \vec{A} \cdot \vec{n} ds = \int_V \operatorname{div} \vec{A} \quad dV.$$